

تحلیل و طراحی آنتن با استفاده از روش گشتاورها

گردآوری

محمد اجارودی، چنگیز قبادی و جواد نوری‌نیا

دانشگاه ارومیه، دانشگاه ارومیه و دانشگاه ارومیه

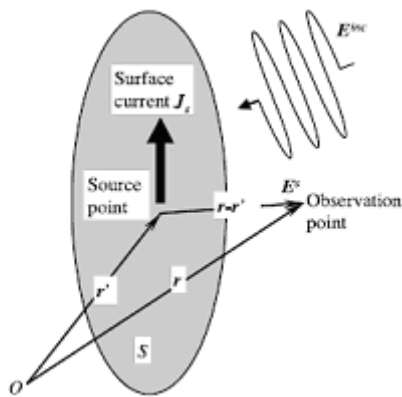
خلاصه - در این مقاله روش گشتاورها که به طور وسیعی برای تحلیل پارامترهای آنتن‌ها به عنوان یک روش عددی به کار می‌رود توضیح داده می‌شود. در ابتدا، مراحل روش گشتاورها برای حل معادلات انتگرالی برای هادی‌های سیمی و مسطح بیان می‌شود و مثال‌های عددی برای ساختار هادی‌هایی با اتصال‌هایی از بخش‌های سیمی و مسطح در این مقاله بررسی می‌شوند و نشان داده می‌شود که روش گالرکین منجر به جواب با دقت بالا می‌شود در آخر هم روش گشتاورها برای پراکننده‌های عایقی با آخرین پیشرفت‌ها بررسی می‌شود.

كلمات کلیدی- روش گشتاورها- معادلات انتگرالی- روش گالرکین- روش تطبیق نقطه‌ای



$$E_t^{inc}(r) = j\omega\mu_0 \iint_S \left[\bar{G}_0(r, r') J_S(r') \right] dr' \quad (2)$$

به طوری که E^{inc} میدان الکتریکی تابشی معلوم و E^s میدان منتشره شده با جریان سطحی نامعلوم J_S که باستی محاسبه شود. اندیس t اشاره به مؤلفه‌ی عمودی میدان دارد و \bar{G}_0 تابع گرین دودویی فضای آزاد می‌باشد.



شکل ۱: انتشار موج الکترومغناطیسی به وسیله‌ی جسم هادی.

برای حل معادله‌ی انتگرالی (۲) جریان سطحی نامعلوم به مجموعه‌ای از توابع پایه‌ی $f_n(r')$ بسط داده می‌شود.

$$J_S(r') = \sum_{n=1}^N I_n f_n(r') \quad (3)$$

با جایگذاری معادله‌ی (۳) در معادله‌ی (۲) و با مطرح کردن توابع آزمون $\omega_m(r)$ به طوری که بردارهای عمودی در سطح پراکننده می‌باشند معادله‌ی انتگرالی (۲) تبدیل به دستگاه معادلات همزمان زیر می‌شود.

$$\sum_{n=1}^N Z_{mn} I_n = V_m, m = 1, 2, 3, \dots, N \quad (4)$$

روش گشتاورها بعد از انتشار کتاب "محاسبات میدان توسط روش گشتاورها" نوشته‌ی هرینگتون در سال ۱۹۶۸ و با پیشرفت سریع کامپیوترهای رقمی عمومیت پیدا کرد [۱]. مفهوم روش گشتاورها که بعداً روش گالرکین نام گرفت نخستین بار توسط گالرکین در سال ۱۹۱۵ در روسیه ارائه شد. روش گشتاورها روش حل معادلات انتگرالی یا معادلات دیفرانسیلی به صورت عددی با تبدیل این معادلات به معادلات همزمان می‌باشد. در تحلیل حوزه‌ی الکترومغناطیسی معادله‌ی انتگرالی برای میدان الکتریکی در سطح هادی معمولی برای محاسبه‌ی جریان سطحی روی آنتن و پراکننده به کار می‌رود هر چند که معادله‌ی انتگرالی برای میدان مغناطیسی نیز می‌تواند مورد استفاده قرار گیرد [۲]. روش گشتاورها همچنین برای مسائل انتشاری که شامل مواد عایقی هستند به کار برده می‌شود به طوری که در این‌گونه مسائل معادله‌ی انتگرالی حجمی برای محاسبه‌ی جریان قطبی شده‌ی داخل ماده‌ی عایق حل می‌شود [۳].

۲- نظریه‌ی روش گشتاورها

ابتدا اجازه دهید یک آنتن هادی کامل با میدان تابشی E^{inc} همانند شکل ۱ در نظر بگیریم. مؤلفه‌ی عمودی میدان الکتریکی روی سطح هادی کامل باستی شرط مرزی را ارضا کند:

$$\left[E^s(r) + E^{inc}(r) \right] = 0 \quad (1)$$

و معادله‌ی انتگرالی برای جریان در روی سطح S با رابطه‌ی

به طور مشابه برای توابع آزمون $\omega_m(r)$ نیز نوع زیر حوزه‌ای و تمام حوزه‌ای به کار می‌رond. ساده‌ترین تابع آزمون تابع دلتای دیراک می‌باشد. به طوری که معادله‌ی انتگرالی را از شکل رشته‌ی پیوسته در طول حوزه به مقادیر گسسته تبدیل می‌کند. روشی که از توابع دلتا به عنوان تابع وزن استفاده می‌کند روش تطبیق نقطه‌ای نامیده می‌شود. روش تطبیق نقطه‌ای روش بسیار جالبی است چون نیازی به مراحل خسته‌کننده انتگرال‌گیری نسبت به r ندارد. دقت جواب نهایی روش تطبیق نقطه‌ای تنها به تعداد نقاط تطبیق N وابسته نیست بلکه محل تطبیق نقاط تطبیق نیز اغلب اوقات مهم می‌باشد.

وقتی که برای توابع پایه و توابع آزمون تابع‌های متفاوتی انتخاب می‌شود $f_n(r) \neq \omega_m(r)$ در این صورت رابطه‌ی تقابل در ماتریس امپدانس از بین می‌رود $Z_{mn} \neq Z_{nm}$ و جواب نهایی نیز از دقت بالایی برخوردار نخواهد بود. در روش گالرکین تابع آزمون $\omega_m(r)$ و تابع پایه‌ی $f_n(r)$ مثل هم انتخاب می‌شوند در نتیجه رابطه‌ی تقابل نیز در ماتریس امپدانس برقرار می‌شود و جواب نهایی نیز از دقت بالایی برخوردار خواهد بود [2].

۳- ساختار سیمی نازک

در نخستین مرحله‌ی روش گشتاورها در سال‌های ۱۹۶۸-۱۹۷۵، روش گشتاورهای هرینگتون به طور وسیعی مورد استفاده قرار گرفت چون در این حالت امپدانس خودی و امپدانس متقابل به یک شکل واضح بدون هیچ انتگرالی

به طوری که ضرایب ولتاژ V_m مقادیر مشخصی دارند و با رابطه‌ی زیر محاسبه می‌شوند:

$$V_m = \iint_S \omega_m(r) E^{inc}(r) dr \quad (5)$$

و برای Z_{mn} نیز داریم:

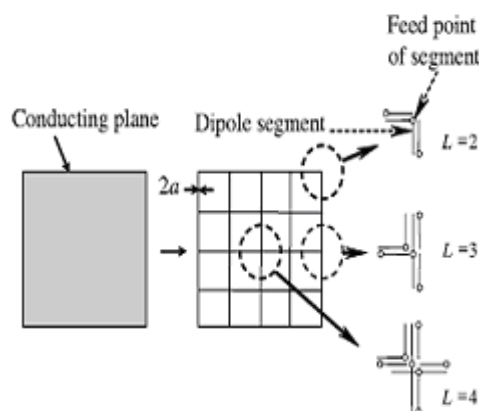
$$Z_{mn} = j\omega\mu_0 \iiint_S \iint_S \omega_m(r) \bar{G}_0(r, r') f_n(r') dr' dr \quad (6)$$

Z_{mn} با انتگرال ضرب داخلی بین میدان الکترویکی تولید شده با جریان سطحی $f_n(r')$ و توابع آزمون $\omega_m(r)$ در روی سطح هادی بیان می‌شود. Z_{mn} همچنین بیانگر امپدانس خودی تولید شده $(m = n)$ و امپدانس متقابل تولید شده $(m \neq n)$ بین جریان سطحی $f_n(r')$ و توابع آزمون $\omega_m(r)$ نیز می‌باشد. با محاسبه I_n ، جریان سطحی J_S و میدان انتشار یافته نیز محاسبه می‌شود.

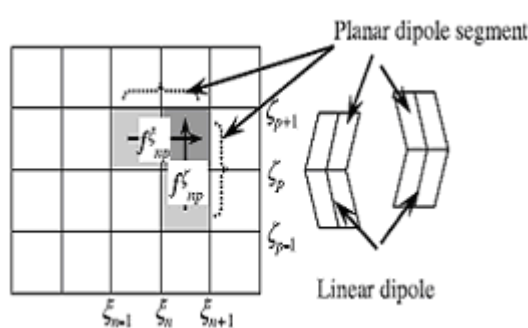
توابع پایه می‌توانند به دو نوع از توابع تقسیم شوند. نوع اول، توابع پایه‌ای که در تمام حوزه‌ی S که انتگرال معادله‌ی (۲) در این حوزه گرفته می‌شود مقدار غیر صفر دارد و نوع دوم توابع پایه‌ای که در قسمتی از کل حوزه‌ی انتگرال گیری مقداری غیر صفر دارد. وقتی توابع پایه‌ی نوع اول مورد استفاده قرار گیرد بایستی توابع مناسبی که وابسته هستند به شکل پراکننده مورد استفاده قرار گیرند مانند سری فوریه برای پراکننده‌ی هادی چهار ضلعی (مربعی یا مستطیلی) [۴]. بنابراین توابع پایه‌ی نوع اول بعضی اوقات برای پراکننده‌های با شکل اختیاری مناسب نیستند [۲].

۴- ساختارهای مسطح

در تحلیل عددی ساختارهای مسطح به طور معمول مدل‌سازی حلقه‌های سیمی برای سطح هادی استفاده می‌شود[۵]. مدل‌سازی حلقه‌های سیمی جایگزین ساختار مسطح با مدل حلقه‌ی سیمی همانند شکل ۲ می‌شود و دوباره از تقریب سیم نازک استفاده می‌کنیم. در مدل‌سازی حلقه‌ی سیمی همانند آنچه در شکل ۳ نشان داده شده است نقاط گره قسمت‌های دوقطبی سیمی را به هم متصل می‌کنند و پیوستگی جریان در این نقاط گره بسیار مهم است. این روش یک عیب عمدی دارد و آن عدم صحت برای میدان نقاط نزدیک می‌باشد.



شکل ۲: مدل‌سازی حلقه‌های سیمی برای ساختارهای مسطح سیمی.



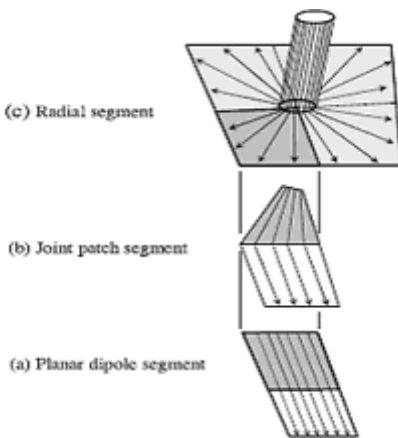
شکل ۳: تقسیم‌بندی ساختارهای مسطح به بخش‌های دوقطبی مسطح.

تبديل می‌شود[۱]. اما با افزایش طول پراکننده تعداد توابع پایه N زیادی برای حصول جواب دقیق مورد نیاز است و زمان CPU برای حل معادلات همزمان در رابطه‌ی(۴) نیز افزایش می‌یابد چون زمان CPU برای حل N معادله‌ی N مجھولی متناسب با N^3 می‌باشد برای غلبه بر این مشکل ترکیبات زیادی از توابع پایه در طول سال‌های ۱۹۷۰ تا ۱۹۷۵ ارائه شده است[۲]. از سال ۱۹۷۵ روش گشتاورهای رایموند به طور معمول استفاده می‌شود به طوری که در این روش سینوسی‌های تکه‌وار به عنوان توابع پایه و توابع آزمون مورد استفاده قرار می‌گیرند[۴]. در روش گشتاور رایموند روش گشتاور گالرکین مطرح شده و دقت جواب نهایی با N مرحله حاصل می‌شود. روش گشتاورهای رایموند بر خلاف روش هرینگتون برای رسیدن به جواب قابل قبول نیاز به N بزرگ ندارد.

روش رایموند می‌تواند به آسانی به کار برده شود حتی زمانی که پراکننده از ساختارهای سیمی نازک پیچیده تشکیل شده باشد در این صورت مساله با تقسیم پراکننده به صورت قسمت‌های دوقطبی V شکل خم مانند حل می‌شود. توابع پایه و توابع آزمون برای هریک از قسمت‌های دوقطبی

V شکل از رابطه‌ی زیر به دست می‌آید:

$$f_n(\xi) = \omega_n(\xi) = \begin{cases} \frac{\sin k_0(h_1 + \xi)}{\sin k_0 h_1} \hat{\xi}_1, & -h_1 \leq \xi_1 \leq 0 \\ \frac{\sin k_0 h_1}{\sin k_0(h_2 - \xi_2)} \hat{\xi}_2, & 0 \leq \xi_2 \leq h_2 \end{cases} \quad (9)$$



شکل ۵: بخش‌های شعاعی و اتصال بخش‌های patch مانند برای بخش سیمی و بخش مسطح.

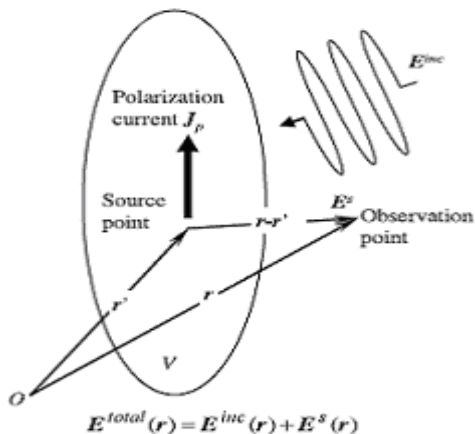
یکی از روش‌های تحلیل پراکننده‌های دارای هادی مسطح که دارای دقت بالایی می‌باشد روش گشتاورهای رایموند تعمیم یافته می‌باشد [4] به طوری که توابع پایه و توابع آزمون سینوسی تکه‌وار برای قسمت‌های دوقطبی مسطح نشان داده شده در شکل ۴ به کار می‌رود این توابع پایه طبق فرمول زیر محاسبه می‌شوند:

$$f_{np}^{\xi}(\xi', \zeta') = \begin{cases} \frac{\sin k_0(\xi_{n+1} - \xi')}{\sin k_0(\xi_{n+1} - \xi_n)} \bar{\xi}, & \xi_{n+1} \geq \xi' \geq \xi_n, \zeta_{p+1} \geq \zeta' \geq \zeta_p \\ \frac{\sin k_0(\xi' - \xi_{n-1})}{\sin k_0(\xi_n - \xi_{n-1})} \bar{\xi}, & \xi_n \geq \xi' \geq \xi_{n-1}, \zeta_{p+1} \geq \zeta' \geq \zeta_p \\ 0, & \text{otherwise} \end{cases} \quad (11)$$

در شکل ۴ نشان داده شده‌اند.

۵- مواد عایق

در روش گشتاورها برای پراکننده‌های عایقی معادله‌ی انتگرال حجمی برای به دست اوردن جریان قطبی شده‌ی ناشناخته در داخل ماده‌ی عایق مورد استفاده قرار می‌گیرد.

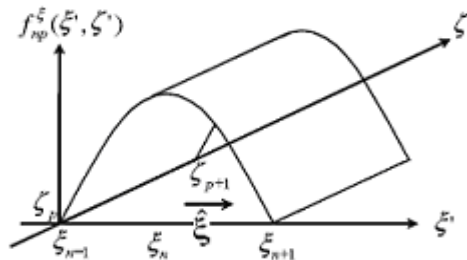


شکل ۶: انتشار موج الکترومغناطیسی با بدنه‌ی عایق.

میدان الکتریکی منتشرشده با جریان قطبی شده‌ی J_p در

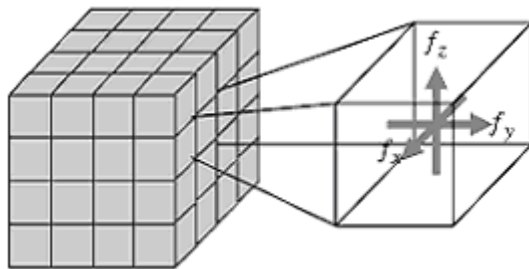
داخل بدنه‌ی عایق نشان داده شده در شکل ۶ که شامل

حجم V می‌باشد با رابطه‌ی زیر محاسبه می‌شود.



شکل ۴: توابع آزمون و پایه‌ی سینوسی تکه‌وار برای بخش‌های مسطح.

وقتی که هادی پراکننده از سیم‌ها و سطح هادی جدا از هم تشکیل شده اما در نقطه‌ی اتصال سیم‌ها به ساختارهای مسطح مشکل به وجود می‌آید، در این حالت یک رفتار خاص برای بررسی اتصال بین قسمت دوقطبی مسطح و قسمت دوقطبی سیمی نیاز است. همانند آنچه که در شکل ۵ نشان داده شده است.



شکل ۷: مدل‌بندی بدنی عایق.

در روش گشتاورها بلوک‌ها فقط در فضای ماده‌ی عایق قرار می‌گیرند و تعداد بلوک‌های مورد نیاز برای روش گشتاورها خیلی کمتر از تعداد سلول‌های FDTD می‌باشد چون در FDTD باستی بلوک‌ها فضای آزاد یا همان هوا را نیز شامل می‌شوند.

$$E^s(r) = -j\omega\mu_0 \iiint_V \bar{G}_0(r, r') J_p(r') dV' \quad (12)$$

چون میدان الکتریکی کلی E^{total} به وسیله‌ی مجموع میدان الکتریکی تابشی E^{inc} و میدان الکتریکی منتشر شده E^s می‌باشد بنابراین:

$$E^{total}(r) = E^{inc}(r) + E^s(r) \quad (13)$$

و جریان قطبی شده‌ی J_p از رابطه‌ی زیر محاسبه می‌شود:

$$J_p(r) = [\sigma + j\omega\epsilon_0(\epsilon_r - 1)] E^{total}(r) \quad (14)$$

بنابراین:

۶- نتیجه‌گیری

در این مقاله نظریه‌ی روش گشتاورها که روش عددی برای تحلیل مشخصات آنتن‌ها و پراکننده‌ها می‌باشد به طور وسیعی مورد استفاده قرار می‌گیرد توضیح داده شده است و نحوه‌ی به کار گیری این روش برای ساختارهای سیم نازک و ساختارهای مسطح بررسی شده است در آخر، روش گشتاورها برای مواد عایق و تحقیقات اخیر در مورد مدل-سازی بلوکی بیان گردید.

$$E^{inc}(r) = \frac{J_p(r)}{\sigma(r) + j\omega\epsilon_0[\epsilon_r(r) - 1]} + j\omega\mu_0 \iiint_V \bar{G}_0(r, r') J_p(r') dV' \quad (15)$$

در تحلیل عددی مواد عایق با استفاده از روش گشتاورها مدل‌سازی بلوکی به طور عمده مورد استفاده قرار می‌گیرد. همانند آنچه در شکل ۷ نشان داده شده است.تابع پایه در هر بلوک معمولاً به صورت تابع یکسان انتخاب می‌شود. روش تطبیق نقطه‌ای در این حالت منجر به جواب دقیق در حوزه‌ی میدان نزدیک نمی‌شود. بنابراین برای توابع آزمون باستی توابع خطی استفاده شود [۳].

مراجع

[1] R.F. Harrington, Field Computation by Moment Methods, The Macmillan Co., New York, 1968.

[2] R. Mittra ed., Computer Techniques for Electromagnetics, pergammon. New York, 1973.

[3] S. Uebayashi and Y. Amemiya. "power deposition in a block model of man exposed to the near field of a $\frac{1}{2}$ dipole antenna," IECE Trans.Commun. (Japanese Edition), vol. J67-B, no. 8, pp.877-883, Aug . 1984.

[٤] J.A. Richmond. "A wire-grid model of scattering by conducting bodies," Antennas Propag., vol. AP-14, no. 3, pp. 782-786, Nov. 1966.

[٥] R.W.P. King, Table of Antenna Characteristics, Plenum Press, 1971.

